

## К ОБОСНОВАНИЮ ЭЛЕКТРИЧЕСКИХ ФОКУСИРОВОЧНЫХ КАРОТАЖНЫХ ЗОНДИРОВАНИЙ

**В.Х. Фролов, М.И. Эпов, В.С. Могилатов, Г.А. Борисов**

*Институт геофизики СО РАН, 630090, Новосибирск, просп. Коптюга, 3, Россия*

Предлагается новый способ электрического каротажа — электрические фокусировочные каротажные зондирования (ФКЗ). Работа содержит описание фокусировочных зондирований, обоснование неклассического расположения питающих и измерительных электродов, которое позволяет в разной степени компенсировать фон вмещающей среды и получать сигнал в основном от ее аномальной части среды. В статье приведен одномерный математический аппарат для расчета синтетического разностного сигнала фокусировочного зонда с неточечными кольцевыми электродами и проведен анализ кривых зондирования ФКЗ, в частности, палеток, рассчитанных по одномерной двухслойной модели „скважина—пласт“. Также приведены примеры одно- и двухмерных каротажных диаграмм ФКЗ, построенных при помощи математического моделирования одномерных и двухмерных сред, в сравнении с диаграммами БКЗ.

*Каротажные зондирования, электромагнитное поле, зонд, электрод, кажущееся удельное электрическое сопротивление.*

### FOCUSING ELECTRICAL LOGGING

**V.Kh. Frolov, M.I. Eпов, V.S. Mogilatov, and G.A. Borisov**

The paper presents a new method of focusing electrical logging (FEL), which implies a nontraditional layout of source and receiving electrodes. This configuration provides compensation of the background signal from formation and highlights anomaly signals. We suggest a 1D numerical model to process the synthetic differential signal from a focusing probe with annular electrodes and analyze apparent resistivity curves obtained from a 1D two-layer 'well-formation' model. Examples of 1D and 2D logs based on mathematical modeling are compared to results of DC logging.

*Electrical logging, electromagnetic field, probe, electrode, apparent resistivity*

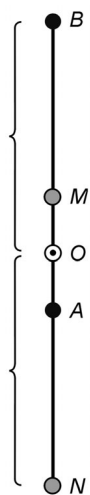
### ВВЕДЕНИЕ

Прогресс в электромагнитных исследованиях в скважинах относится больше к индукционному каротажу. Известны, например, весьма далеко ушедшие от схемы классического трехкатушечного зонда разработки известных фирм Schlumberger и Baker Atlas за рубежом, и фирмы „Луч“ в России (ВИКИЗ). Это высокоорганизованные многокатушечные, многочастотные и многокомпонентные системы, обеспеченные современными математическими средствами обработки и интерпретации.

Между тем индукционный каротаж не может заменить в полной мере методы постоянного тока (или такая замена будет слишком дорогой). Однако, по нашему впечатлению, в электрическом каротаже наблюдается некоторый застой. Не обсуждая весь комплекс причин, обратим внимание на ограниченность классических схем расположения электродов в методах постоянного тока. Питающие ( $A, B$ ) и приемные электроды ( $M, N$ ) располагаются либо по схеме  $AMNB$ , либо по схеме  $ABMN$  ( $\infty BMN$ ). Такие расстановки дают существенный сигнал в однородной среде, и этот сигнал слабо реагирует на неоднородности. Для электроразведки на дневной поверхности в условиях больших электромагнитных и геологических помех применение таких схем оправданно. Однако в скважинных исследованиях мы могли бы применять более „аномалеобразующие“ установки. Учитывая возможность компенсации (частичной или полной) вмещающей среды, будем называть **фокусировочным** предлагаемый здесь способ зондирования с использованием неклассической схемы расположения электродов.

### ФОКУСИРОВОЧНЫЕ ЗОНДИРОВАНИЯ

Фокусировочные каротажные зондирования (ФКЗ) предназначены для изучения геоэлектрических разрезов скважин в радиальных направлениях от их оси. Они относятся к методам постоянного тока и осуществляются прямолинейными зондами, включающими два питающих электрода  $A$  и  $B$  и два приемных электрода  $M$  и  $N$ . Характерными внешними особенностями фокусировочных зондов является расположение электродов: разноименные (питающие и приемные) электроды чередуются через один  $BM(O)AN$ . Одиночные разноименные электроды внешней ( $B, N$ ) и внутренней ( $A, M$ ) пар располагаются



**Рис. 1. Схема электродной системы фокусирующего зонда.**

симметрично относительно общего центра зонда в точке  $O$ , являющейся точкой записи [4] (рис. 1). Можно определить такой зонд как псевдосимметричный.

Эти особенности конфигурации означают для наблюдаемых разностей потенциалов  $\Delta V$  одинаковые (для слагаемых в одних и тех же скобках), но противоположные (для слагаемых в разных скобках) знаки потенциалов  $V_{AM}, V_{BN}, V_{AN}, V_{BM}$  (от элементарных установок  $AM, BN, AN, BM$  — потенциальных элементов):

$$\Delta V = \pm(V_{AM} + V_{BN}) \pm (V_{AN} + V_{BM}).$$

Вследствие этих особенностей фокусирующие зонды позволяют при постоянном общем размере зонда ( $BN$ ) и не изменяющейся существенно глубинности исследований с помощью симметричных относительно точки  $O$  перемещений одних только внутренних электродов ( $M$  и  $A$ ) обеспечивать наблюдения не одного, а серии сигналов, различным образом связанных с изучаемой средой. Это объясняется тем, что указанные перемещения приводят к изменениям абсолютных и относительных размеров и местоположений указанных пар потенциальных элементов относительно точки  $O$  и неоднородностей в разрезе,

а вместе с ними величин и сумм пар потенциалов с одинаковыми знаками. При этом важно, что эти изменения происходят в противоположные стороны. Это усиливает влияние указанных изменений на общие результаты суперпозиции всех четырех потенциалов и на возможности каротажа.

Из вышеизложенного видно, что повышение возможностей электрического каротажа в заданных геоэлектрических условиях с помощью фокусирующих зондов обеспечивается выбором положений внутренних электродов при заданных расстояниях между внешними электродами, обеспечивающих глубину исследований. Эти взаимоположения электродов удобно характеризовать отношениями длин боковых потенциальных элементов и внутреннего:

$$d = \frac{BM}{AM} = \frac{AN}{AM}.$$

Значение  $d$  и длина одного из потенциальных элементов определяют размеры всех остальных потенциальных элементов зонда. Например, при заданных  $BN$  и  $d$  имеем

$$AM = \frac{BN}{2d + 1}, \quad BM = AN = AM \cdot d = \frac{BN \cdot d}{2d + 1} \text{ и т. п.}$$

Целенаправленное регулирование условий и результатов суперпозиции потенциалов с помощью изменений соотношений потенциальных элементов  $d$  при одном размере зонда с целью повышения возможностей каротажа названо фокусированием, а отношение  $d$  — фокусирующим.

По результатам наблюдений фокусирующими зондами определяют кажущееся сопротивление  $\rho_k$  по известным формулам:

$$\rho_k = K \frac{\Delta V}{I},$$

где  $I$  — сила тока в линии  $AB$ , а  $K$  — коэффициент фокусирующего зонда [4]:

$$K = 4\pi \frac{BO \cdot d}{d^2 - d - 1}.$$

Результаты зондирования при  $BO = \text{var}$  представляют обычно в виде кривых ФКЗ  $\rho_k = f(BO)$ , при  $d = \text{const}$  в билогарифмическом масштабе виде.

#### АППАРАТ МАТЕМАТИЧЕСКОГО МОДЕЛИРОВАНИЯ

Проверка целесообразности применения ФКЗ, оценка диапазонов изменений абсолютных и относительных параметров фокусирующих зондов (ФЗ) и выявление других особенностей метода ФКЗ, обеспечивающих повышение его возможностей, осуществлялись, в частности, с помощью массового математического моделирования зондирования. Использовались несколько программно реализованных математических моделей.

1. Одномерная цилиндрически-слоистая среда. Постоянный ток. Точечные заземления на оси скважины. Модель актуальна в случае пересечения скважиной толстого однородного слоя.

2. Одномерная горизонтально-слоистая среда. Постоянный ток. Точечные заземления по наклонной (в частности, вертикальной) линии — оси скважины. Скважина не учитывается.

3. Двухмерная модель с цилиндрическими и горизонтальными границами. Постоянный ток. Метод конечных разностей (автор — И.В. Суродина, Институт вычислительной математики и математической геофизики СО РАН, г. Новосибирск).

4. Одномерная цилиндрически-слоистая среда. Цилиндрическая среда формируется скважиной, заполненной буровым раствором, зоной проникновения, а также корпусом зонда. Учет конечных размеров электродов (кольцевые электроды, располагающиеся на цилиндрической поверхности корпуса зонда). Гармонический режим.

Одномерный математический аппарат на постоянном токе для точечных электродов достаточно известен, и мы здесь его приводить не будем. Исползованная программа двухмерных расчетов ранее хорошо апробирована и проверялась нами сравнением с одномерными расчетами. Последний объект представляет самостоятельный интерес (гармонический режим для гальванического источника и распределенные заземления) и мы приводим здесь полное решение.

Итак, рассмотрим цилиндрически-слоистую кусочно-однородную геоэлектрическую модель, в которой введем цилиндрическую систему координат. Каждый слой будем считать изотропным. Найдем выражения для всех компонент электромагнитного поля при условии, что на определенной цилиндрической границе (фактической или фиктивной,  $r = r_l$ ) геоэлектрического разреза задано распределение поверхностной плотности стороннего тока (в А/м), меняющегося по гармоническому закону —  $\mathbf{J}^{\text{CT}}(\varphi, z) \cdot e^{-i\omega t}$ .

Для определения искоемых компонент поля требуется решить систему уравнений Максвелла в каждом однородном слое ( $n = 0, 1, \dots, N$ ). Для гармонического режима система примет следующий вид:

$$\begin{aligned} \text{rot}\mathbf{H} &= \sigma_n \mathbf{E}, \quad \text{div}\mathbf{H} = 0, \\ \text{rot}\mathbf{E} &= i\omega\mu_n \mathbf{H}, \quad \text{div}\mathbf{E} = 0. \end{aligned}$$

Здесь и далее  $\sigma_n$  — комплексная проводимость  $n$ -го слоя, т. е.  $\sigma_n \equiv 1/\rho_n - i\omega\varepsilon_n$ .

На простых границах ( $r = r_n, n = 1, 2, \dots, N, n \neq l, 1 \leq l \leq N$ ) между слоями непрерывны тангенциальные (вертикальные и азимутальные) компоненты электромагнитного поля ( $H_z, H_\varphi, E_z, E_\varphi$ ). На границе ( $r = r_l$ ), в которой протекает поверхностный сторонний ток, должны выполняться особые граничные условия:

$$\begin{aligned} [E_z]_{r=r_l} &= 0, \quad [H_z]_{r=r_l} = -J_\varphi^{\text{CT}}(\varphi, z), \\ [E_\varphi]_{r=r_l} &= 0, \quad [H_\varphi]_{r=r_l} = -J_z^{\text{CT}}(\varphi, z). \end{aligned} \quad (1)$$

Обращаем внимание читателя, что здесь подразумевается поверхностная плотность тока (в А/м). Таким образом, источник поля в задаче мы учитываем как дополнительные граничные условия. Такой подход был ранее использован нами в [1, 3].

В каждом однородном слое  $\mathbf{H}$  и  $\mathbf{E}$  удовлетворяют уравнению Гельмгольца:

$$\Delta \mathbf{F} - k_n^2 \mathbf{F} = 0, \quad \mathbf{F} = \mathbf{H}, \mathbf{E}. \quad (2)$$

Здесь и далее  $k_n^2 = -i\omega\mu_n \sigma_n$  ( $n = 0, 1, \dots, N$ ). Присоединяя сюда еще условия излучения на бесконечности, мы вполне определили задачу.

В дальнейшем распределение стороннего тока принимаем осесимметричным и соосным с цилиндрически-слоистой средой, т. е.

$$\mathbf{J}^{\text{CT}} = \{0, J_\varphi^{\text{CT}}(z), J_z^{\text{CT}}(z)\},$$

так что решение не зависит от  $\varphi$  и задача радикально упрощается. Уравнения (2) для  $H_r, E_r$  принимают вид

$$\Delta F - \frac{F}{r^2} - k_n^2 F = 0, \quad F(r, z) = H(r, z), E(r, z) \quad (3)$$

и, соответственно, условия для нормальных компонент электромагнитного поля ( $r = r_n, n = 1, 2, \dots, N$ ):

$$[\sigma E_r]_{r=r_n} = \begin{cases} -\frac{\partial J_z^{\text{CT}}}{\partial z}, & n = l, \\ 0 & n \neq l, \end{cases} \quad \left[ \frac{E_r}{r} + \frac{\partial E_r}{\partial r} \right]_{r=r_n} = 0, \quad (4)$$

$$[\mu H_r]_{r=r_n} = 0, \quad \left[ \frac{H_r}{r} + \frac{\partial H_r}{\partial r} \right]_{r=r_n} = \begin{cases} \frac{\partial J_\varphi^{\text{CT}}}{\partial z}, & n = l, \\ 0, & n \neq l \end{cases}. \quad (5)$$

Задачи (3)—(5) для  $H_r$ ,  $E_r$  скалярны и независимы. Решим эти задачи разделением переменных, воспользовавшись преобразованием Фурье по координате  $z$ :

$$f(r, z) = \frac{1}{2\pi} \int_{-\infty}^{\infty} f^*(r, z) \cdot e^{i\xi z} d\xi, \quad f^*(r, z) = \int_{-\infty}^{\infty} f(r, z) \cdot e^{-i\xi z} dz. \quad (6)$$

Если применить преобразование Фурье к задачам (3)—(5) для  $H_r$ ,  $E_r$  и определить:

$$E_r^*(r, \xi) = X(r) \cdot A^*(\xi), \quad H_r^*(r, \xi) = Y(r) \cdot B^*(\xi), \quad (7)$$

где

$$A^*(\xi) = - \int_{-\infty}^{\infty} \frac{\partial J_z^{\text{CT}}}{\partial z} \cdot e^{-i\xi z} dz, \quad B^*(\xi) = - \int_{-\infty}^{\infty} \frac{\partial J_\varphi^{\text{CT}}}{\partial z} \cdot e^{-i\xi z} dz,$$

мы сведем задачу к нахождению двух совершенно независимых ни друг от друга, ни от конфигурации источника функций  $X$  и  $Y$ , которые в каждом однородном слое ( $n = 0, 1, \dots, N$ ) удовлетворяют одному и тому же уравнению:

$$\frac{\partial^2 F}{\partial r^2} + \frac{1}{r} \frac{\partial F}{\partial r} - \left( \frac{1}{r^2} + p_n^2 \right) F = 0, \quad F = X, Y, \quad (8)$$

где  $p_n = \sqrt{k_n^2 + \xi^2}$ , но разным условиям на границах ( $r = r_n, n = 1, 2, \dots, N$ ):

$$\text{для } X \quad [\sigma X]_{r=r_n} = \begin{cases} 1, & n = l \\ 0, & n \neq l \end{cases}, \quad \left[ \frac{X}{r} + X_r' \right]_{r=r_n} = 0, \quad (9)$$

$$\text{для } Y \quad [\mu Y]_{r=r_n} = 0, \quad \left[ \frac{Y}{r} + Y_r' \right]_{r=r_n} = \begin{cases} 1, & n = l \\ 0, & n \neq l \end{cases}, \quad (10)$$

причем  $X$  и  $Y$  конечны при  $r = 0$  и стремятся к 0 при  $r \rightarrow \infty$ .

Применяя преобразование Фурье (6) к выражениям компонент электромагнитного поля и учитывая независимость от  $\varphi$ , легко получить выражения для их образов Фурье в каждом однородном слое ( $n = 0, 1, \dots, N$ ):

$$\begin{aligned} H_r^* &= Y \cdot B^*, \quad E_r^* = X \cdot A^*, \\ H_\varphi^* &= i\sigma_n r^2 \bar{\xi} \cdot X \cdot A^*, \quad E_\varphi^* = -\omega \mu_n r^2 \bar{\xi} \cdot Y \cdot B^*, \\ H_z^* &= ir \bar{\xi} \left( Y + r \frac{\partial Y}{\partial r} \right) B^*, \quad E_z^* = ir \bar{\xi} \left( X + r \frac{\partial X}{\partial r} \right) A^*, \end{aligned}$$

где  $\bar{\xi} = \frac{1}{r^2 \xi}$ .

Решим краевые задачи (8)—(10). Обозначим  $X(r)$  и  $Y(r)$  через  $R(r)$ , так как эти функции зависят только от  $r$  и удовлетворяют одному и тому же уравнению. Функцию  $R(r)$  определим как

$$R(r) = \begin{cases} P \cdot \zeta(r), & r \leq r_l \\ Q \cdot \zeta(r), & r \geq r_l \end{cases}$$

Заметим, что функция  $\zeta(r)$ , как и функция  $R(r)$ , является решением уравнения (8).

Опуская процесс вычисления, достаточно подробно описанный в [3], приведем сразу выражения функции  $\zeta(r)$  через ее же значения  $\zeta_{i\pm 0} = \zeta(r)|_{r=r_i\pm 0}$  и  $\zeta_{i\pm 0}' = \zeta_r'(r)|_{r=r_i\pm 0}$  на дальней ( $i = n + 1$ ) и ближней ( $i = n$ ) цилиндрических границах  $n$ -го слоя ( $n = 1, 2, \dots, N$ ):

- через значения на верхней границе:

$$\zeta(r) = \frac{\zeta_{1-0}}{I_1(p_0 r_1)} I_1(p_0 r), \quad r < r_1,$$

$$\zeta(r) = r_{n+1} [\zeta_{n+1-0} \cdot \alpha_1^1(r, n) - \zeta_{n+1-0}' \cdot \beta_1^1(r, n)], \quad (11)$$

- через значения на нижней границе:

$$\zeta(r) = r_n [\zeta_{n+0} \cdot \alpha_1^0(r, n) - \zeta'_{n+0} \cdot \beta_1^0(r, n)],$$

$$\zeta(r) = \frac{\zeta_{N+0}}{K_1(p_n r_n)} K_1(p_n r), \quad r > r_N, \quad (12)$$

где

$$\alpha_m^j(r, n) = I'_{m,r} |_{r=r_{n+j}} \cdot K_m(p_n r) - K'_{m,r} |_{r=r_{n+j}} \cdot I_m(p_n r),$$

$$\beta_m^j(r, n) = I_m(p_n r_{n+j}) K_m(p_n r) - K_m(p_n r_{n+j}) I_m(p_n r),$$

$$I'_{m,r} |_{r=r_n} = \frac{\partial I_m(p_n r)}{\partial r} |_{r=r_n} \quad \text{и} \quad K'_{m,r} |_{r=r_n} = \frac{\partial K_m(p_n r)}{\partial r} |_{r=r_n}.$$

При переходе границ между слоями ( $r = r_n, n = 1, 2, \dots, N, n \neq l$ ) непрерывны следующие функции:

для  $X$  
$$f = \frac{\zeta}{r} + \zeta_r', \quad h = \sigma \zeta;$$

для  $Y$  
$$f = \mu \zeta, \quad h = \frac{\zeta}{r} + \zeta_r'.$$

Константы  $P$  и  $Q$  определяются из условий на границе с источником. Окончательно имеем

$$R(r) = \begin{cases} \frac{f_{r=r_l+0}}{f_{r=r_l-0} \cdot h|_{r=r_l+0} - f_{r=r_l+0} \cdot h|_{r=r_l-0}} \cdot \zeta(r), & r < r_l, \\ \frac{f_{r=r_l-0}}{f_{r=r_l-0} \cdot h|_{r=r_l+0} - f_{r=r_l+0} \cdot h|_{r=r_l-0}} \cdot \zeta(r), & r > r_l. \end{cases}$$

Таким образом, можно последовательно, переходя от одного слоя к другому и применяя формулы (11), (12), вычислить значения функции  $X(r)$  и  $Y(r)$ , что определяет по формулам (7) нормальные компоненты (их прообразы), а следовательно, и прообразы всех компонент электромагнитного поля.

Рассмотрим применение вышеописанного алгоритма для расчета поля фокусирующего зонда с системой круговых электродов радиуса  $r_l$ . Координаты питающих и измерительных электродов  $A, B, M$  и  $N$  равны  $z_A, z_B, z_M$  и  $z_N$  соответственно. Через питающие электроды  $A$  и  $B$  протекает ток  $I$ .

Этот источник электромагнитного поля можно описать осесимметричным распределением поверхностного электрического тока, имеющим только вертикальную компоненту  $J_Z^{ct}$  (в А/м), которая выражается следующим образом:

$$J_Z^{ct}(z) = \frac{I}{2\pi r_l} [U(z - z_B) - U(z - z_A)].$$

Следовательно, „функции источника“ имеют вид

$$A^*(\xi) = -\frac{I}{2\pi r_l} (e^{-i\xi z_B} - e^{-i\xi z_A}),$$

$$B^*(\xi) = 0.$$

Откуда получаем выражения для Фурье-образа вертикальной компоненты электрического поля

$$E_z^* = -\frac{iI}{2\pi r_l \xi} \left( \frac{X}{r} + \frac{\partial X}{\partial r} \right) (e^{-i\xi z_B} - e^{-i\xi z_A}).$$

Переходя к искомым компонентам поля, при помощи обратного преобразования Фурье (6) получим

$$E_z(r, z) = -\frac{iI}{4\pi^2 r_l} \int_{-\infty}^{\infty} \left( \frac{X}{r} + \frac{\partial X}{\partial r} \right) (e^{-i\xi(z-z_B)} - e^{i\xi(z-z_A)}) \frac{d\xi}{\xi}.$$

Соответственно, при нашем расположении измерительных электродов  $M$  и  $N$ , проинтегрировав выражение (31) по  $z$  от  $z_M$  до  $z_N$ , получим разностный сигнал

$$\Delta V = \frac{I}{2\pi^2 r_l} \int_{-\infty}^{\infty} \frac{Z}{\xi^2} \left( \frac{X}{r} + \frac{\partial X}{\partial r} \right) d\xi,$$

где  $Z = \cos[\xi(z_M - z_B)] - \cos[\xi(z_N - z_B)] - \cos[\xi(z_M - z_A)] + \cos[\xi(z_N - z_A)]$ .

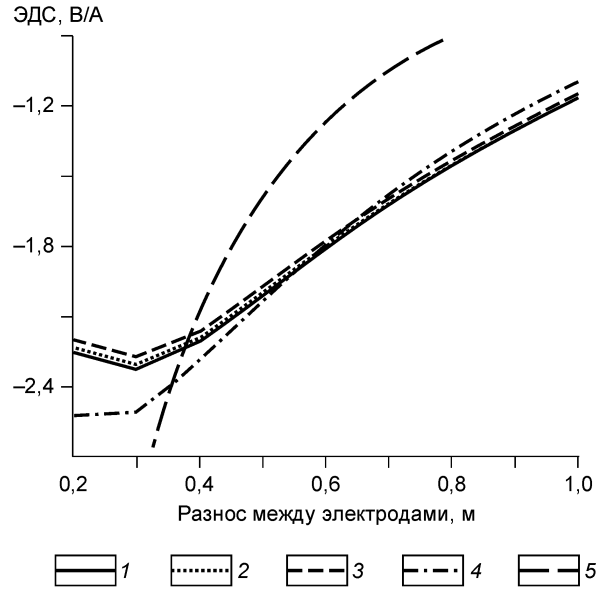
**Рис. 2. Сравнение расчетов ЭДС фокусирующего зонда с круговыми и точечными электродами.**

1 — точечные электроды; круговые электроды без учета корпуса: 2 —  $r = 0,05$  м, 3 —  $r = 0,1$  м; с учетом корпуса: 4 —  $r = 0,05$ , 5 —  $r = 0,1$  м.

На рис. 2 приведены результаты расчетов по построенному алгоритму, которые сравнивались с синтетическим разностным сигналом, рассчитанным программой для фокусирующего зонда с точечными заземлениями.

В этом примере рассматривались четырехслойная (в случае фокусирующего зонда с точечными заземлениями) и пятислойная (для фокусирующего зонда с круговыми заземлениями) кусочно-изотропные геоэлектрические модели сред, в которых радиусы фактических границ были равны 0,108, 0,3 и 0,7 м. Удельные электрические сопротивления (УЭС) слоев, представляющих собой скважину с буровым раствором, промытую и окаймляющую зоны и вмещающую среду, были равны 1, 25, 8 и 15 Ом·м соответственно. В пятислойной среде источник располагался на фиктивной границе радиуса 0,01; 0,05 или 0,1 м. При этом магнитные и диэлектрические проницаемости слоев были равны соответственно магнитной и диэлектрической проницаемостям вакуума. Электродная система соответствовала схеме *ВМАН*, где  $ВМ = МА = АМ = var$ . Режим тока — постоянный.

Из рис. 2 видно, что при увеличении расстояния между электродами кривые ЭДС, как и следовало ожидать, сходятся. Заметим, однако, что при большом радиусе (0,1 м), когда окружность кольцевого электрода близка к поверхности первой границы, влияние конечных размеров электродов сохраняется при больших длинах зонда. При радиусе круговых электродов, равном 0,01 м, кривые ЭДС визуально совпали, и максимальная относительная разность между ними составила 0,4 %. Если еще учесть корпус (УЭС =  $10^{10}$  Ом·м), то мы получим всюду отличающиеся (в большей или меньшей степени) кривые ЭДС.



### АНАЛИЗ КРИВЫХ ФКЗ

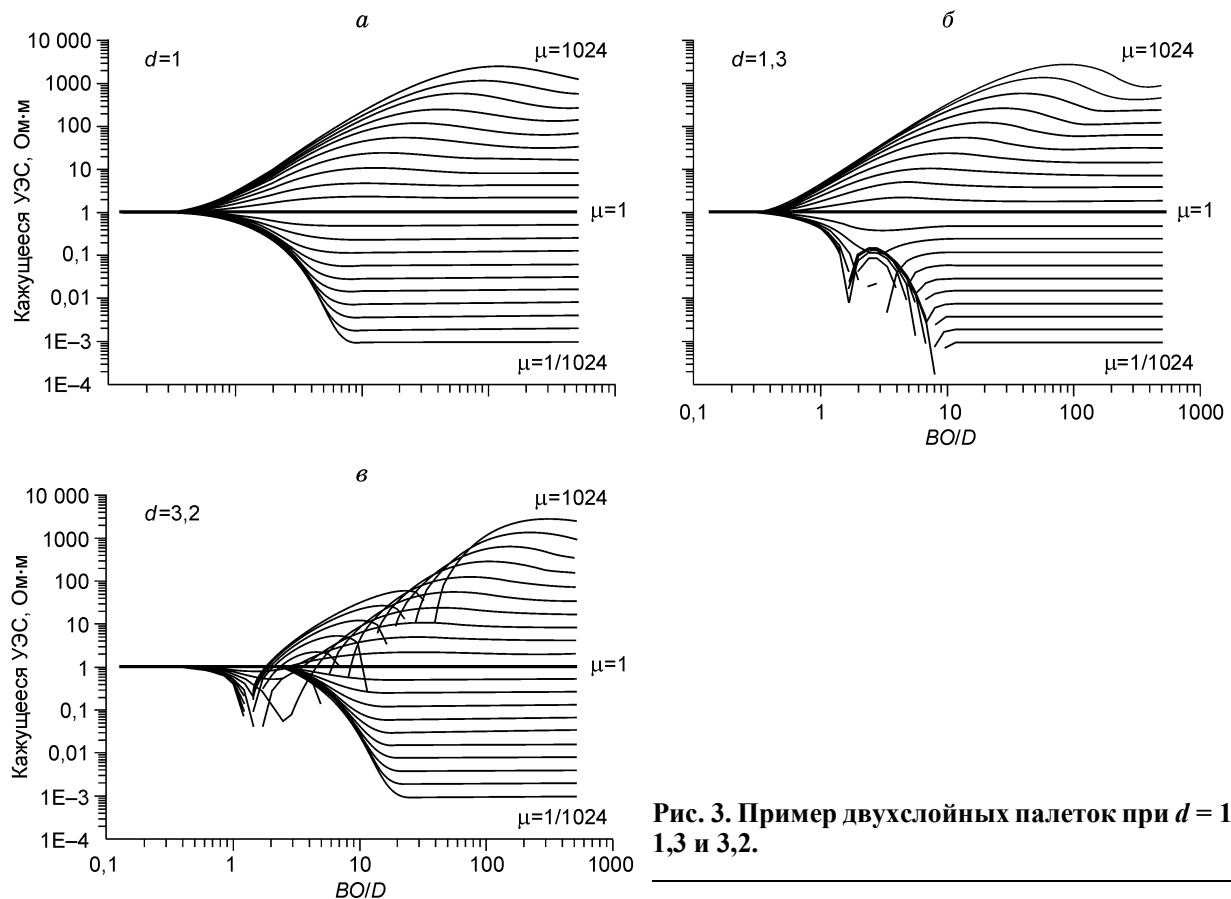
Расчеты для анализа возможностей ФКЗ проводились, в частности, для двухслойных сред, состоящих из скважины, заполненной буровым раствором, пересекающей однородный пласт большой мощности. Соотношения  $\mu$  (отношение сопротивления пласта  $\rho_n$  и бурового раствора  $\rho_{бр}$ ) изменялись от 1/1024 до 1024 с геометрическим шагом 2, соотношения полуразносов зонда *ВО* к диаметру скважины *D* изменялись от 0,1 до 1000 с геометрическим шагом  $\sqrt[4]{2}$ , величины *d* изменялись в диапазоне от 0,1 до первых десятков с кусочно-равномерным арифметическим шагом, зависящим от степени изменчивости кривых ФКЗ.

Результаты математического моделирования представлены в виде нескольких десятков палеток двухслойных кривых ФКЗ в координатах  $\rho_k/\rho_{бр} = f(BO/D)$  при  $d = const$  и  $\mu = var$ .

На рис. 3, б, в видна существенно повышенная разрешенность минимумов кривых ФКЗ при  $d = 1,3$ ,  $\mu = 1/4, 1/8, 1/16$  и при  $d = 3,2$ ,  $\mu = 8, 16, 32$ , в обоих случаях  $BO/D \approx 2,5$ , при которых кривые на рис. 3, а разрешены во много раз меньше.

На палетках видно, что при всех конечных значениях *d* кривые ФКЗ имеют левые и правые горизонтальные асимптоты, равные УЭС бурового раствора и пласта соответственно. Характер кривых между начальной и конечной горизонтальными асимптотами существенно зависит от величин *d* и  $\mu$ . Лишь при  $d = 1$ , ввиду равенства модулей потенциалов  $V_{AM}$  и  $V_{BM, AN}$  и противоположности их знаков, как отмечено в [5], фокусирующие кривые при  $BN/BM = 3$  близки к градиентным, но вместе с этим при  $\mu < 1$  минимумы кривых ФКЗ не опускаются ниже уровня  $\rho_n$ . С уменьшением  $d < 1$  наклонные ветви кривых ФКЗ существенно смещаются вправо в сторону повышения  $BO/D$  с приближенным сохранением крутизны наклонов. Это свидетельствует о снижении глубины исследований, но повышении возможностей определения за  $\rho_{бр}$ .

С увеличением *d* от 1 до  $d_0 = (1 + \sqrt{5})/2 \approx 1,618$  (когда в однородной среде все потенциалы взаимно компенсируются и происходит разрыв коэффициента *K* и меняется его знак [5]) наклонные ветви кривых

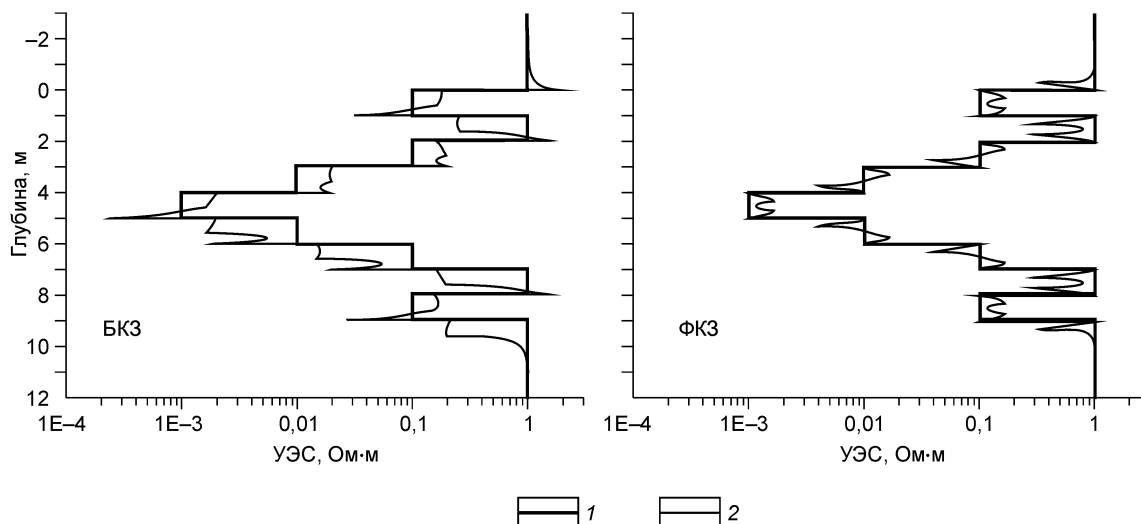


**Рис. 3. Пример двухслойных палеток при  $d = 1$ ; 1,3 и 3,2.**

при всех  $\mu$  последовательно смещаются в сторону меньших  $BO/D$ , что свидетельствует о повышении глубинности исследований. Вместе с этим на конечных правых участках наклонных ветвей кривых при  $\mu < 1$ , начиная с их наименьших значений (т. е. в данном случае с  $\mu = 1/1024$  и до стремящихся к 1) начинают четко проявляться минимумы с уровнями  $\rho_k < \rho_{\text{п}}$ . С увеличением  $d$  эти минимумы сначала быстро углубляются и меняют знак. При фиксированном  $d$  эти изменения происходят одновременно в диапазонах  $\mu$ , различающихся, по крайней мере, в несколько раз. При этом разрешенность в минимумах кривых с  $\mu$ , различающимся в 2 раза, может в несколько раз превышать разрешенность в области их правых асимптотических ветвей. Абсциссы  $BO/D$  этих минимумов изменяются от нескольких единиц при наименьших  $\mu$  до двух при  $\mu \rightarrow 1$ , т. е. значительно меньше, чем в области правых асимптот. При  $\mu > 1$ , в рассматриваемом диапазоне  $d$ , смещение наклонных ветвей влево сопровождается слабым повышением их разрешенности, выражающемся в небольших расхождениях всех кривых, образованием широких пологих максимумов при  $d \approx 1 - 1,2$ , положительных минимумов после максимумов при  $d \approx 1,3 - 1,4$  и отрицательных минимумов после максимумов при  $d \geq 1,5$ .

При  $d > d_0$  и  $\mu < 1$  вместо минимумов образуются слабо разрешенные положительные максимумы. С увеличением  $d$  с шагом 0,1 значения максимумов быстро снижается до величин, превышающих  $\rho_{\text{бр}}$  не более чем на первые десятки процентов. Наклонные ветви смещаются вправо в диапазон  $BO/D \approx 4 - 12$  при  $d = 1,7$  и  $BO/D \approx 4 - 50$  при  $d = 10,8$ .

При  $d > d_0$  и  $\mu > 1$  там, где при  $d < d_0$  были восходящие ветви, тоже образуются минимумы. При  $d \rightarrow d_0$  они являются широкими, отрицательными, расширяющимися с увеличением  $\mu$ . С увеличением  $d$  они постепенно локализуются в ограниченных диапазонах  $\mu$ , начиная с  $\mu \rightarrow 1$ . При локализации они меняют знак на положительный и характеризуются существенно повышенной разрешенностью в сравнении с их правыми асимптотическими ветвями. Абсциссы хорошо разрешенных положительных минимумов при  $d = 1,9$ ; 4; 8 и  $\mu$ , соответственно, 2, 32, 256 близки к 2, 3, 4, 5. При фиксированных  $d$  эти изменения тоже происходят со смещением стадий одновременно в диапазонах  $\mu$ , различающихся в



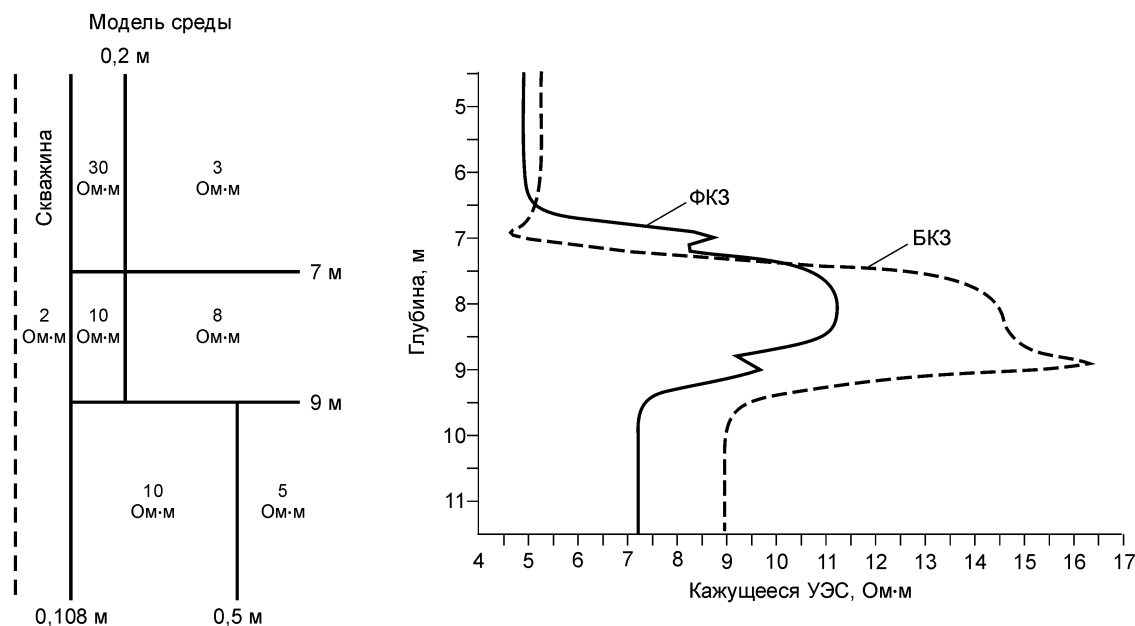
**Рис. 4. Одномерное моделирование БКЗ и ФКЗ.**

1 — УЭС среды, 2 — кажущееся УЭС.

несколько раз. При увеличении  $d$  выше наиболее благоприятных значений, разрешенность положительных минимумов, как и при  $\mu < 1$ , постепенно снижается, а их абсциссы уменьшаются.

Наибольшей разрешенностью характеризуются минимумы кривых ФКЗ, уровень которых находится в окрестности смены знака сигнала. Поскольку она происходит при полной взаимокompенсации потенциалов с разными знаками, то в указанных окрестностях необходимо осторожно использовать сигналы, меньшие уровня уверенно измеряемых. В остальных условиях сигналы, регистрируемые фокусирующими зондами, значительно выше сигналов, измеряемых в градиент-зондах при прочих равных условиях.

Наиболее разрешенные минимумы кривых ФКЗ приходятся на значительную часть номограммы в координатах  $\rho_k/\rho_{гр} = f(A/D)$  для градиент-зондов [6], в которой применение последних не рекомендуется из-за низкой разрешенности наклонных ветвей кривых БКЗ с помощью градиент-зондов. Поэтому метод ФКЗ позволяет не только повысить разрешающую способность получаемых кривых, но и существенно расширить область применимости метода ФКЗ в сравнении с методом БКЗ.



**Рис. 5. Двумерное моделирование БКЗ и ФКЗ.**



Приведем также прямое сравнение каротажных диаграмм ФКЗ и БКЗ. В первом примере зонды ФКЗ ( $BM = MA = AN = 0,2$  м, т. е.  $d = 1$ ) и БКЗ ( $BA = \infty$ ,  $AM = 0,585$ ,  $MN = 0,015$  м) пересекали горизонтально-слоистую среду. УЭС слоев и кажущееся сопротивление приведены на рис. 4.

Во втором примере рассматривалась двухмерная среда с параметрами, приведенными на рис. 5. На этом же рисунке приведены диаграммы профилирования зондами БКЗ ( $BA = \infty$ ,  $AM = 0,4$ ,  $MN = 0,1$  м) и ФКЗ ( $BM = MA = AN = 0,2$  м).

Из рисунков видно, что диаграммы ФКЗ наилучшим образом соответствуют заданным моделям.

### ВЫВОДЫ

Фокусировочные каротажные зондирования (ФКЗ) обеспечивают повышение возможностей электрического каротажа (разрешающую способность, глубинность, условия применимости и др.).

Реализация ФКЗ возможна с помощью существующей аппаратуры для методов постоянного тока, не исключается целесообразность ее замены модификациями, полнее учитывающими дополнительные возможности метода.

### ЛИТЕРАТУРА

1. **Могилатов В.С.** Возбуждение электромагнитного поля в слоистой Земле горизонтальным токовым листом // Изв. РАН, Сер. Физика Земли, 1998, № 5, с. 45—53.
2. **Табаровский Л.А.** Применение метода интегральных уравнений в задачах геоэлектрики. Новосибирск, Наука, 1975, 140 с.
3. **Борисов Г.А., Могилатов В.С.** Электромагнитное возбуждение цилиндрически-слоистой среды различными источниками // Сибирский журнал индустриальной математики, 2002, т. V, № 3, с. 53—66.
4. **Фролов В.Х.** О возможностях повышения геологической эффективности электроразведки // Изв. вузов. Геология и разведка, 1989, № 1, с. 100—108.
5. **Фролов В.Х.** Повышение эффективности электрических зондирований с помощью фокусирования // Повышение эффективности геофизических методов поисков и оценки месторождений полезных ископаемых на основе математического моделирования. Новосибирск, СНИИГГиМС, 1986, с. 98—111.
6. **Дахнов В.Н.** Интерпретация результатов геофизических исследований разрезов скважин. М., Гостоптехиздат, 1955, 492 с.

*Рекомендована к печати 30 августа 2005 г.  
С.В. Гольдиным*

*Поступила в редакцию  
20 апреля 2004 г.*